

Competition between surfactant micellization and complexation by cyclodextrin

M. Cepeda, R. Daviña, L. García-Río, M. Parajó, P. Rodríguez-Dafonte, M. Pessêgo

SUPPLEMENTARY INFORMATION

Table S1. Conductivity experimental data for C₆TAB and C₈TAB without cyclodextrin used to obtain the cmc values.

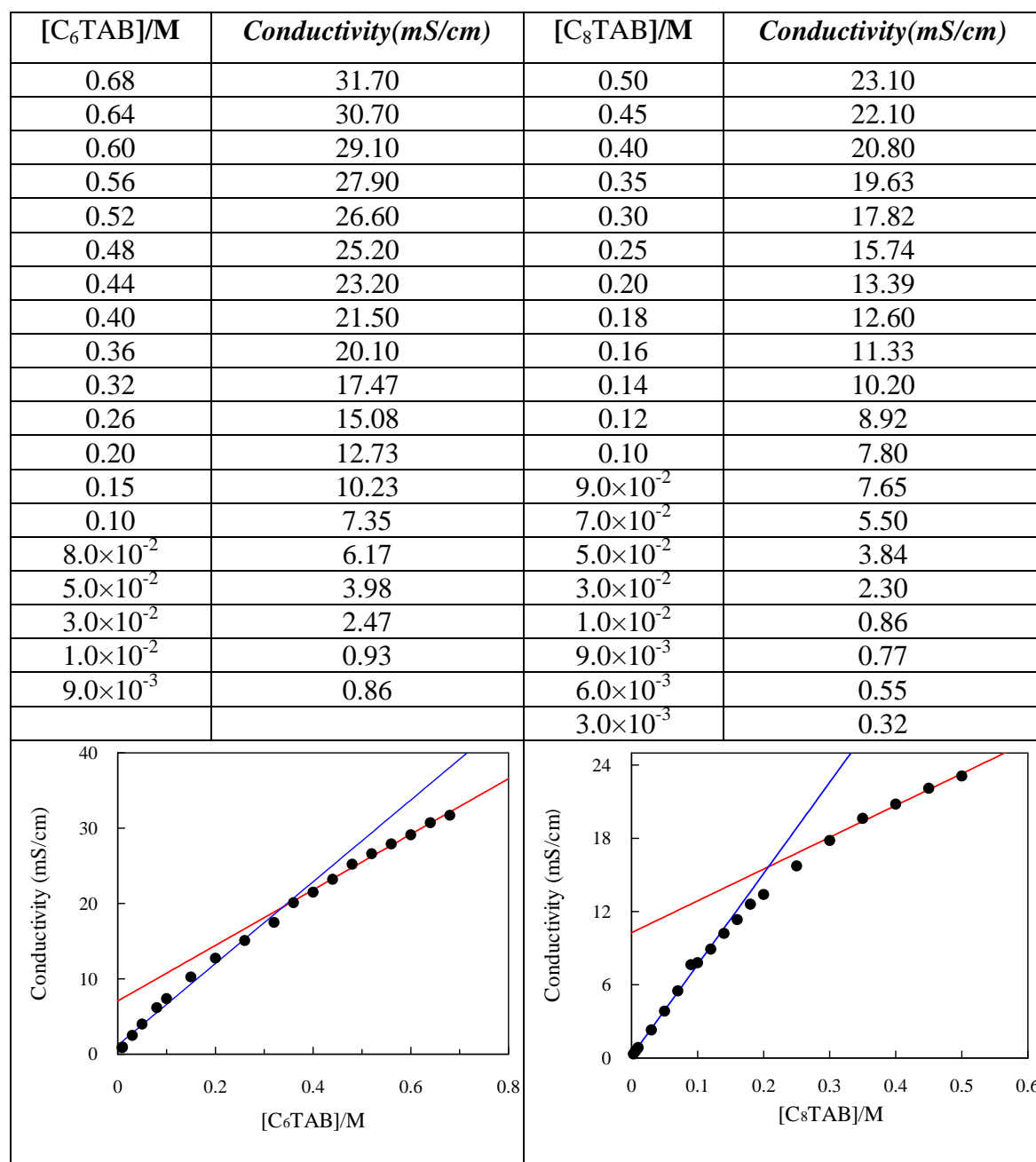


Table S2. Conductivity experimental data for C₁₀TAB and C₁₂TAB without cyclodextrin used to obtain the cmc values.

[C ₁₀ TAB]/M	Conductivity(mS/cm)	[C ₁₂ TAB]/M	Conductivity (μ S/cm)
0.48	15.15	7.5×10^{-2}	2780.0
0.40	14.28	5.0×10^{-2}	2200.0
0.35	12.60	3.5×10^{-2}	1840.0
0.25	9.57	2.5×10^{-2}	1637.0
0.20	8.71	1.5×10^{-2}	1347.0
0.15	7.41	1.0×10^{-2}	917.0
0.10	6.25	7.5×10^{-3}	725.0
9.0×10^{-2}	6.03	5.0×10^{-3}	529.0
8.0×10^{-2}	5.77	3.5×10^{-3}	347.0
7.0×10^{-2}	5.46	2.5×10^{-3}	269.0
6.0×10^{-2}	5.00	1.5×10^{-3}	165.8
5.0×10^{-2}	4.15	1.0×10^{-3}	111.0
4.5×10^{-2}	3.85	7.5×10^{-4}	86.2
4.0×10^{-2}	3.44	5.0×10^{-4}	61.8
3.5×10^{-2}	3.08	3.7×10^{-4}	44.2
3.0×10^{-2}	2.73	2.5×10^{-4}	29.3
2.5×10^{-2}	2.32	1.8×10^{-4}	23.1
2.0×10^{-2}	1.92	1.3×10^{-4}	16.1
1.5×10^{-2}	1.38		
1.0×10^{-2}	0.92		

Conductivity (mS/cm)

[C₁₀TAB]/M

10^3 Conductivity (μ S/cm)

[C₁₂TAB]/M

Table S3. Conductivity experimental data for C₁₄TAB and C₁₆TACl without cyclodextrin used to obtain the cmc values.

[C ₁₄ TAB]/M	Conductivity (μ S/cm)	[C ₁₆ TACl]/M	Conductivity (μ S/cm)
1.8×10 ⁻²	678.0	1.0×10 ⁻²	458.0
1.0×10 ⁻²	504.0	9.0×10 ⁻³	425.0
9.5×10 ⁻³	491.0	8.0×10 ⁻³	383.0
8.5×10 ⁻³	461.0	7.0×10 ⁻³	354.0
7.0×10 ⁻³	434.0	6.0×10 ⁻³	314.0
5.5×10 ⁻³	399.0	5.0×10 ⁻³	275.0
4.0×10 ⁻³	362.0	4.0×10 ⁻³	250.0
2.5×10 ⁻³	251.0	3.0×10 ⁻³	206.0
1.0×10 ⁻³	85.6	2.0×10 ⁻³	163.2
9.0×10 ⁻⁴	77.0	1.0×10 ⁻³	101.3
7.5×10 ⁻⁴	63.2	9.0×10 ⁻⁴	92.0
6.0×10 ⁻⁴	50.1	8.0×10 ⁻⁴	81.1
4.5×10 ⁻⁴	37.0	7.0×10 ⁻⁴	71.5
3.0×10 ⁻⁴	25.3	6.0×10 ⁻⁴	61.6
1.0×10 ⁻⁴	9.48	5.0×10 ⁻⁴	53.5
9.0×10 ⁻⁵	8.44	4.0×10 ⁻⁴	45.0
7.5×10 ⁻⁵	7.01	3.0×10 ⁻⁴	32.2
5.0×10 ⁻⁵	5.80	2.0×10 ⁻⁴	22.6
3.5×10 ⁻⁵	4.27	1.0×10 ⁻⁴	12.6
2.5×10 ⁻⁵	3.44		

Conductivity (μ S/cm)

10^2 [C₁₄TAB]/M

Conductivity (μ S/cm)

10^2 [C₁₆TACl]/M

Table S4. Conductivity experimental data for C₁₈TACl without cyclodextrin (left) and with cyclodextrin (right, [CD] = 2.58×10⁻³ M) used to obtain the cmc values.

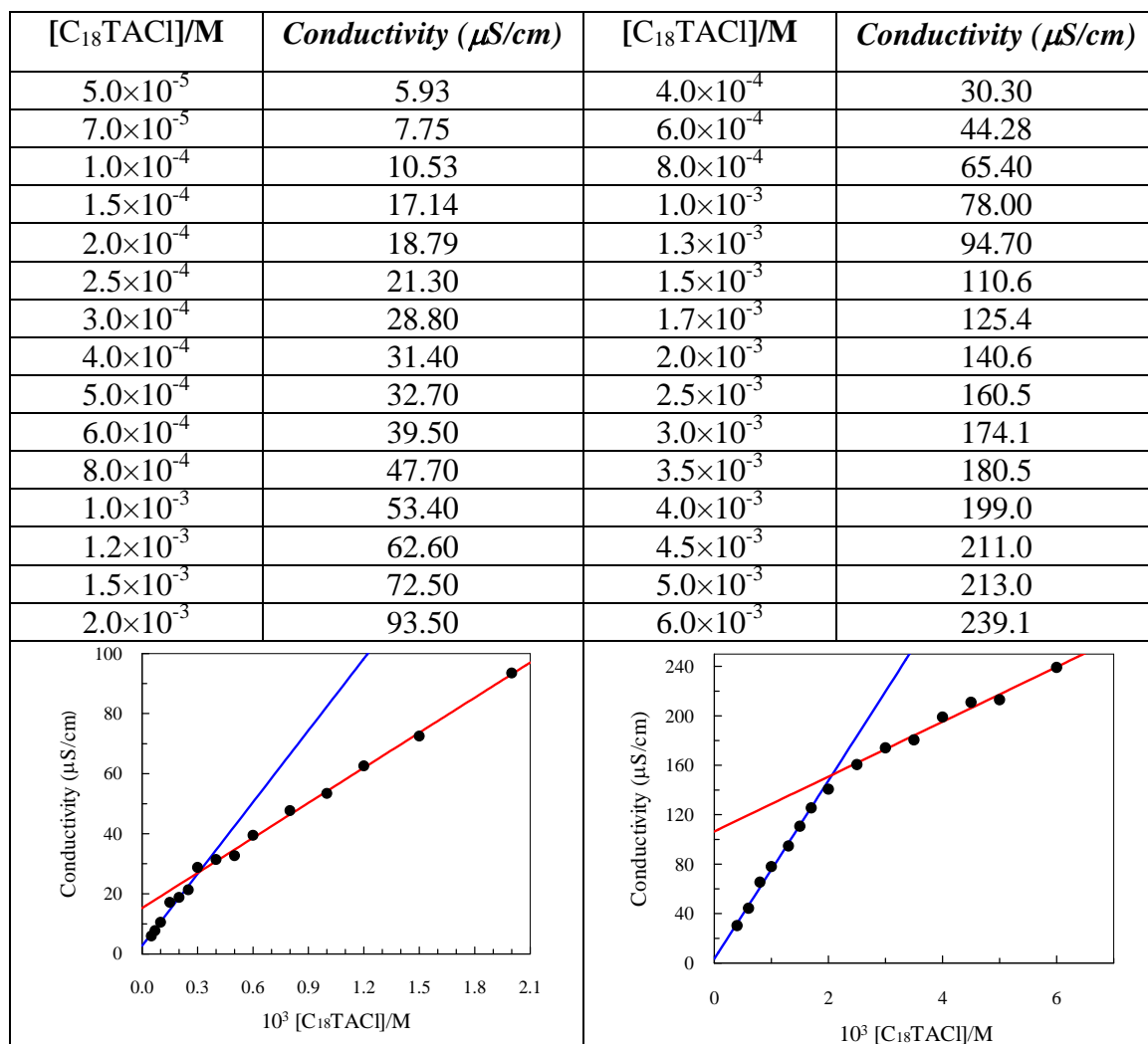


Table S5. Influence of the surfactant concentration (C_6TAB and C_8TAB) on the observed rate constant for the hydrolysis of MBSC at 25.0 °C. $[MBSC] = 8.87 \times 10^{-5}$ M.

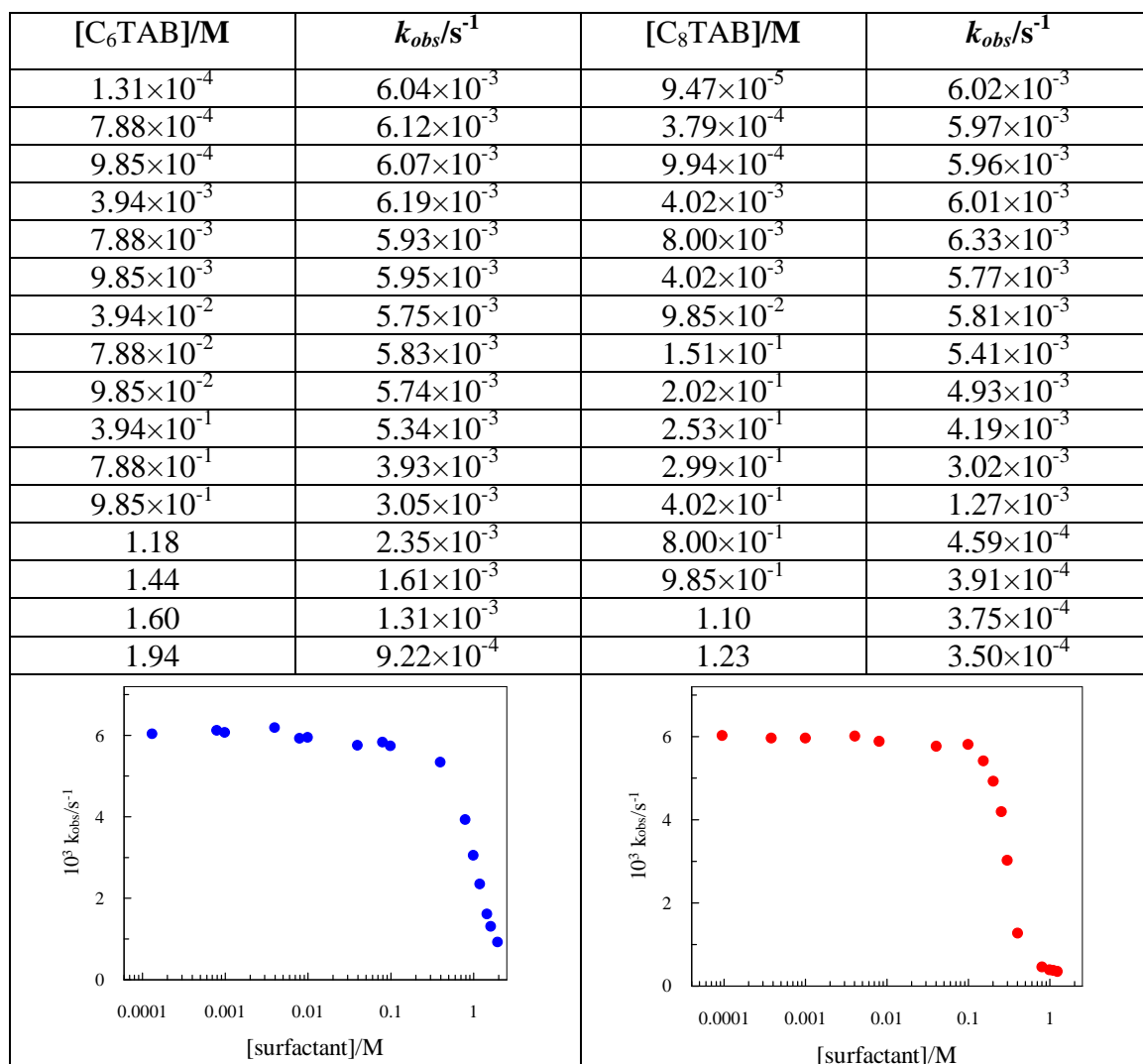


Table S6. Influence of the surfactant concentration ($C_{10}\text{TAB}$ and $C_{12}\text{TAB}$) on the observed rate constant for the hydrolysis of MBSC at 25.0 °C. $[\text{MBSC}] = 8.87 \times 10^{-5} \text{ M}$.

$[\text{C}_{10}\text{TAB}]/\text{M}$	$k_{\text{obs}}/\text{s}^{-1}$	$[\text{C}_{12}\text{TAB}]/\text{M}$	$k_{\text{obs}}/\text{s}^{-1}$
1.01×10^{-2}	6.35×10^{-3}	1.7×10^{-3}	6.45×10^{-3}
2.01×10^{-2}	6.03×10^{-3}	3.3×10^{-3}	6.37×10^{-3}
4.03×10^{-2}	5.87×10^{-3}	5.0×10^{-3}	6.36×10^{-3}
5.03×10^{-2}	6.14×10^{-3}	6.7×10^{-3}	6.39×10^{-3}
6.04×10^{-2}	5.72×10^{-3}	8.3×10^{-3}	6.32×10^{-3}
6.54×10^{-2}	4.33×10^{-3}	1.00×10^{-2}	6.35×10^{-3}
7.04×10^{-2}	3.21×10^{-3}	1.17×10^{-2}	5.91×10^{-3}
8.05×10^{-2}	2.14×10^{-3}	1.42×10^{-2}	5.67×10^{-3}
0.101	1.07×10^{-3}	1.67×10^{-2}	4.51×10^{-3}
0.201	4.77×10^{-4}	2.00×10^{-2}	2.66×10^{-3}
0.403	3.46×10^{-4}	2.50×10^{-2}	1.72×10^{-3}
0.805	2.85×10^{-4}	2.83×10^{-2}	1.37×10^{-3}
		3.08×10^{-2}	1.25×10^{-3}
		3.33×10^{-2}	1.17×10^{-3}
		4.17×10^{-2}	8.49×10^{-4}
		5.00×10^{-2}	7.22×10^{-4}
		5.83×10^{-2}	6.13×10^{-4}
		6.67×10^{-2}	5.57×10^{-4}
		8.34×10^{-2}	4.78×10^{-4}
		0.100	4.24×10^{-4}
		0.167	3.25×10^{-4}
		0.250	2.77×10^{-4}

$10^3 k_{\text{obs}}/\text{s}^{-1}$

[surfactant]/M

$10^3 k_{\text{obs}}/\text{s}^{-1}$

[surfactant]/M

Table S7. Influence of the surfactant concentration ($C_{14}AB$ and $C_{16}TACl$) on the observed rate constant for the hydrolysis of MBSC at 25.0 °C. $[MBSC] = 8.87 \times 10^{-5}$ M.

$[C_{14}TAB]/M$	k_{obs}/s^{-1}	$[C_{16}TACl]/M$	k_{obs}/s^{-1}
1.0×10^{-4}	5.91×10^{-3}	1.0×10^{-5}	6.00×10^{-3}
2.0×10^{-4}	5.88×10^{-3}	4.0×10^{-5}	5.99×10^{-3}
4.0×10^{-4}	5.87×10^{-3}	8.0×10^{-5}	5.96×10^{-3}
8.0×10^{-4}	5.84×10^{-3}	1.0×10^{-4}	5.96×10^{-3}
1.0×10^{-3}	5.90×10^{-3}	2.0×10^{-4}	5.93×10^{-3}
2.0×10^{-3}	5.84×10^{-3}	4.0×10^{-4}	5.92×10^{-3}
4.0×10^{-3}	5.18×10^{-3}	6.0×10^{-4}	5.90×10^{-3}
5.0×10^{-3}	3.97×10^{-3}	8.0×10^{-4}	5.80×10^{-3}
6.0×10^{-3}	3.21×10^{-3}	1.0×10^{-3}	5.66×10^{-3}
7.0×10^{-3}	2.66×10^{-3}	1.5×10^{-3}	5.13×10^{-3}
8.0×10^{-3}	2.32×10^{-3}	2.0×10^{-3}	4.15×10^{-3}
1.00×10^{-2}	1.93×10^{-3}	3.0×10^{-3}	3.10×10^{-3}
2.00×10^{-2}	9.50×10^{-4}	4.0×10^{-3}	2.46×10^{-3}
4.00×10^{-2}	5.52×10^{-4}	5.0×10^{-3}	2.06×10^{-3}
8.00×10^{-2}	3.46×10^{-4}	6.0×10^{-3}	1.73×10^{-3}
		7.0×10^{-3}	1.55×10^{-3}
		9.0×10^{-3}	1.27×10^{-3}
		2.0×10^{-2}	6.82×10^{-4}
		4.0×10^{-2}	4.51×10^{-4}
		8.0×10^{-2}	3.74×10^{-4}

$10^3 k_{obs}/s^{-1}$

$[surfactant]/M$

$10^3 k_{obs}/s^{-1}$

$[surfactant]/M$

Table S8. Influence of the surfactant concentration ($C_{18}\text{TACl}$) on the observed rate constant for the hydrolysis of MBSC at 25.0 °C. $[\text{MBSC}] = 8.87 \times 10^{-5} \text{ M}$.

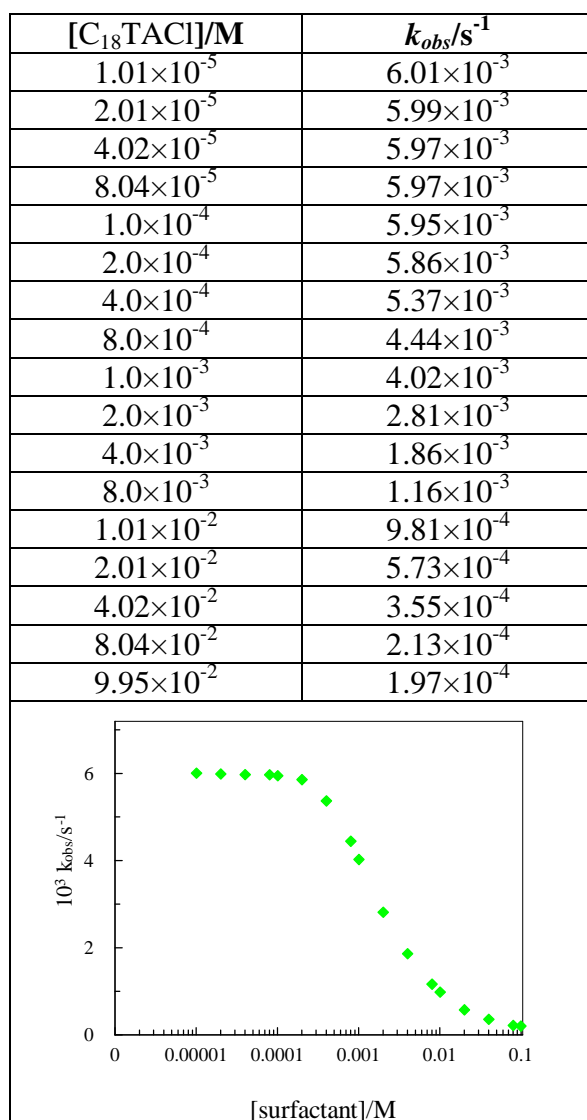


Table S9. Influence of β -CD concentration on k_{obs} for the hydrolysis of MBSC. [MBSC] = 8.87×10^{-5} M, $T = 25 \pm 0.1^\circ\text{C}$.

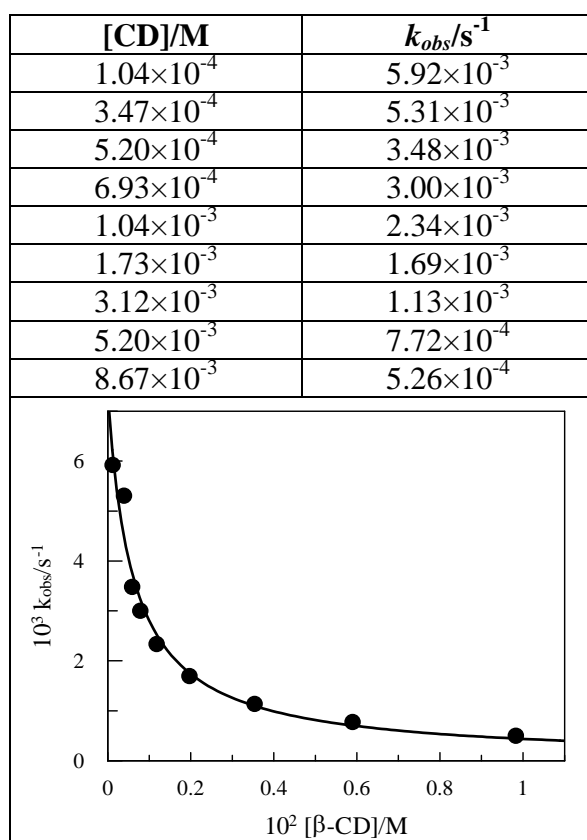


Table S10. Influence of the surfactant concentration (C_6 TAB and C_8 TAB) on the k_{obs} for the hydrolysis of MBSC at 25.0 °C in the presence of β -CD. [MBSC]= 8.87×10^{-5} M, [CD] = 2.58×10^{-3} M, T = 25 ± 0.1 °C.

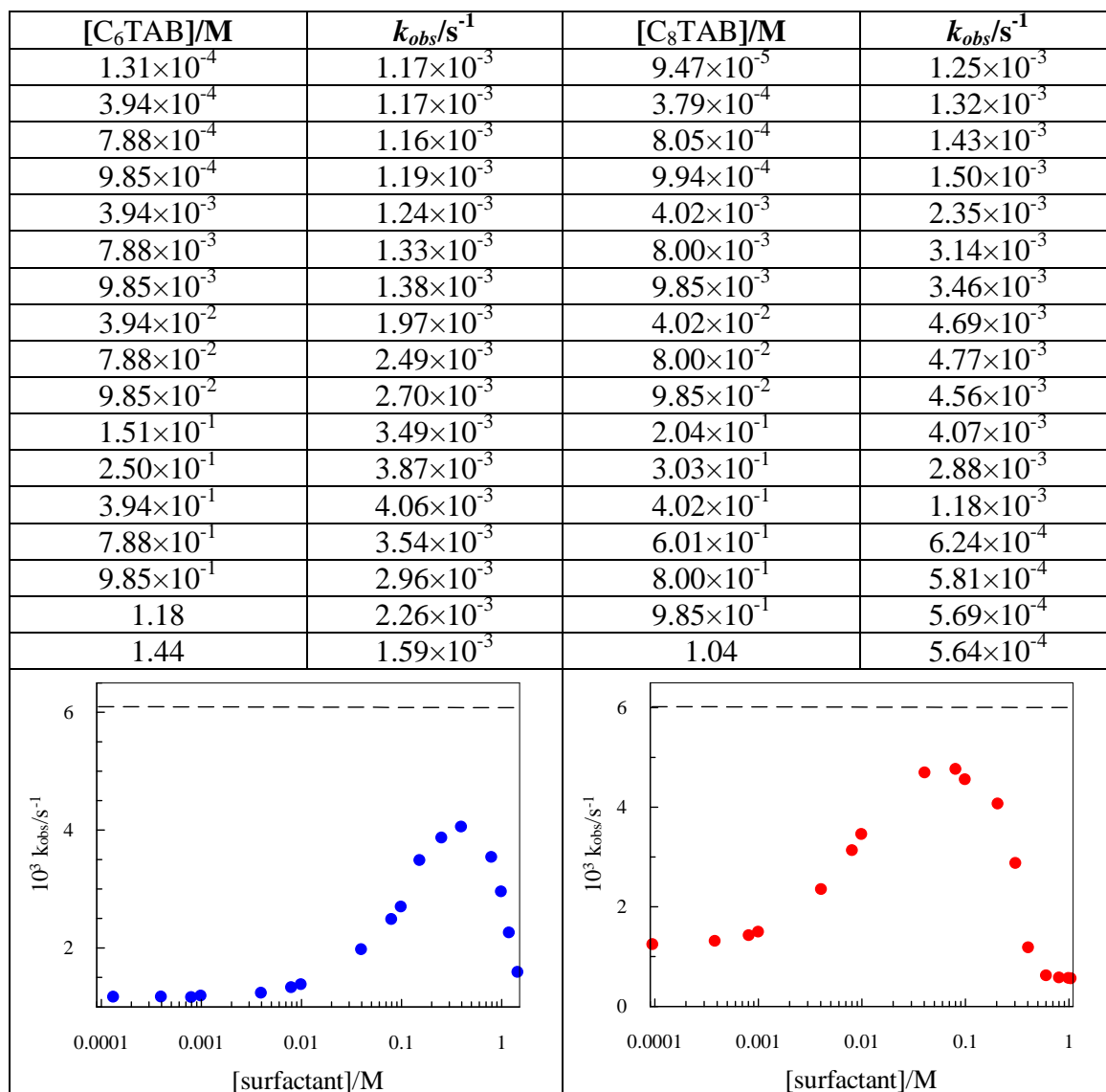


Table S11. Influence of the surfactant concentration ($C_{10}\text{TAB}$ and $C_{12}\text{TAB}$) on the k_{obs} for the hydrolysis of MBSC at 25.0 °C in the presence of $\beta\text{-CD}$. $[\text{MBSC}] = 8.87 \times 10^{-5} \text{ M}$, $[\text{CD}] = 2.58 \times 10^{-3} \text{ M}$, $T = 25 \pm 0.1^\circ\text{C}$.

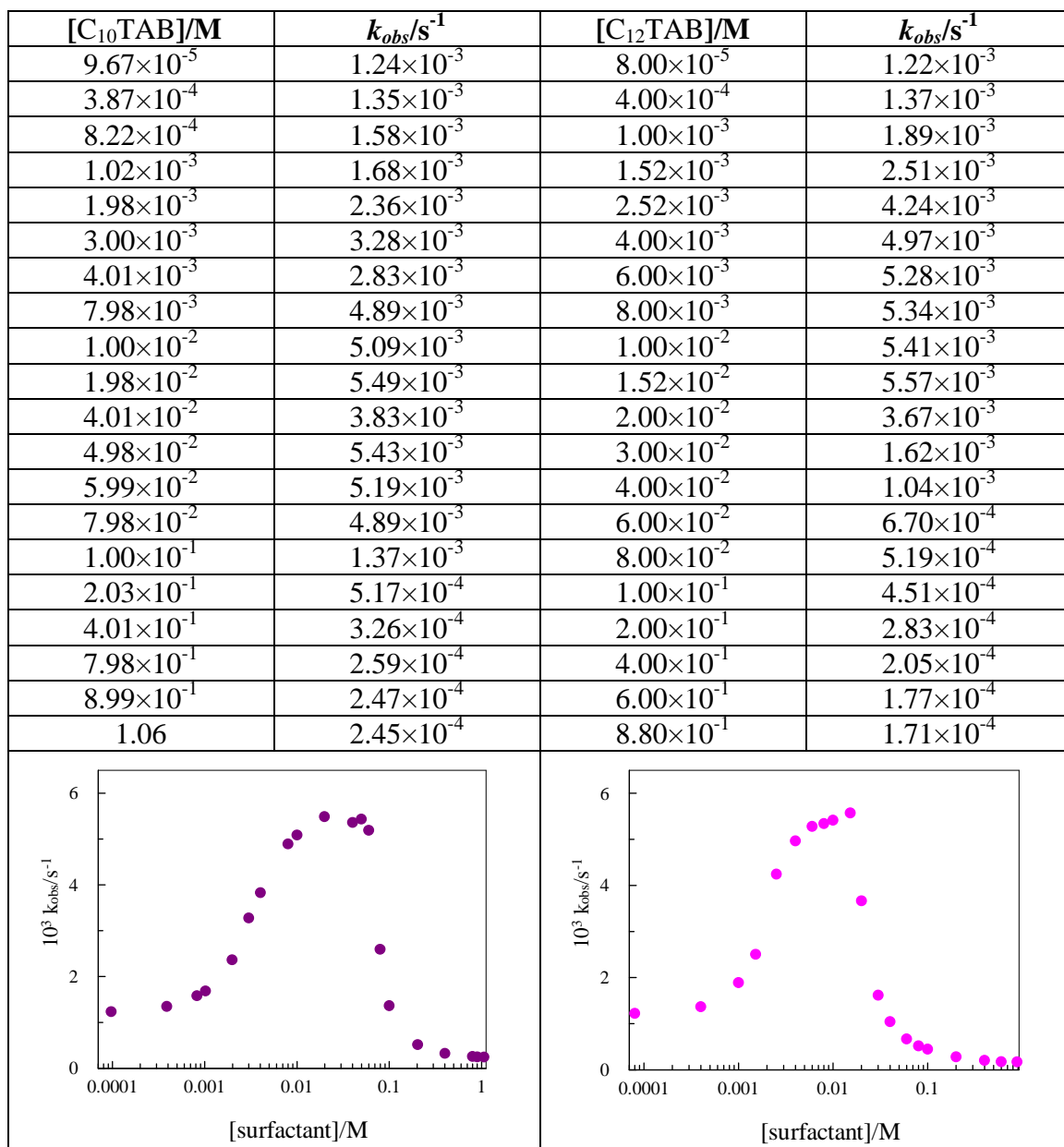


Table S12. Influence of the surfactant concentration ($C_{14}\text{TAB}$ and $C_{16}\text{TACl}$) on the k_{obs} for the hydrolysis of MBSC at 25.0 °C in the presence of $\beta\text{-CD}$. $[\text{MBSC}] = 8.87 \times 10^{-5} \text{ M}$, $[\text{CD}] = 2.58 \times 10^{-3} \text{ M}$, $T = 25 \pm 0.1^\circ\text{C}$.

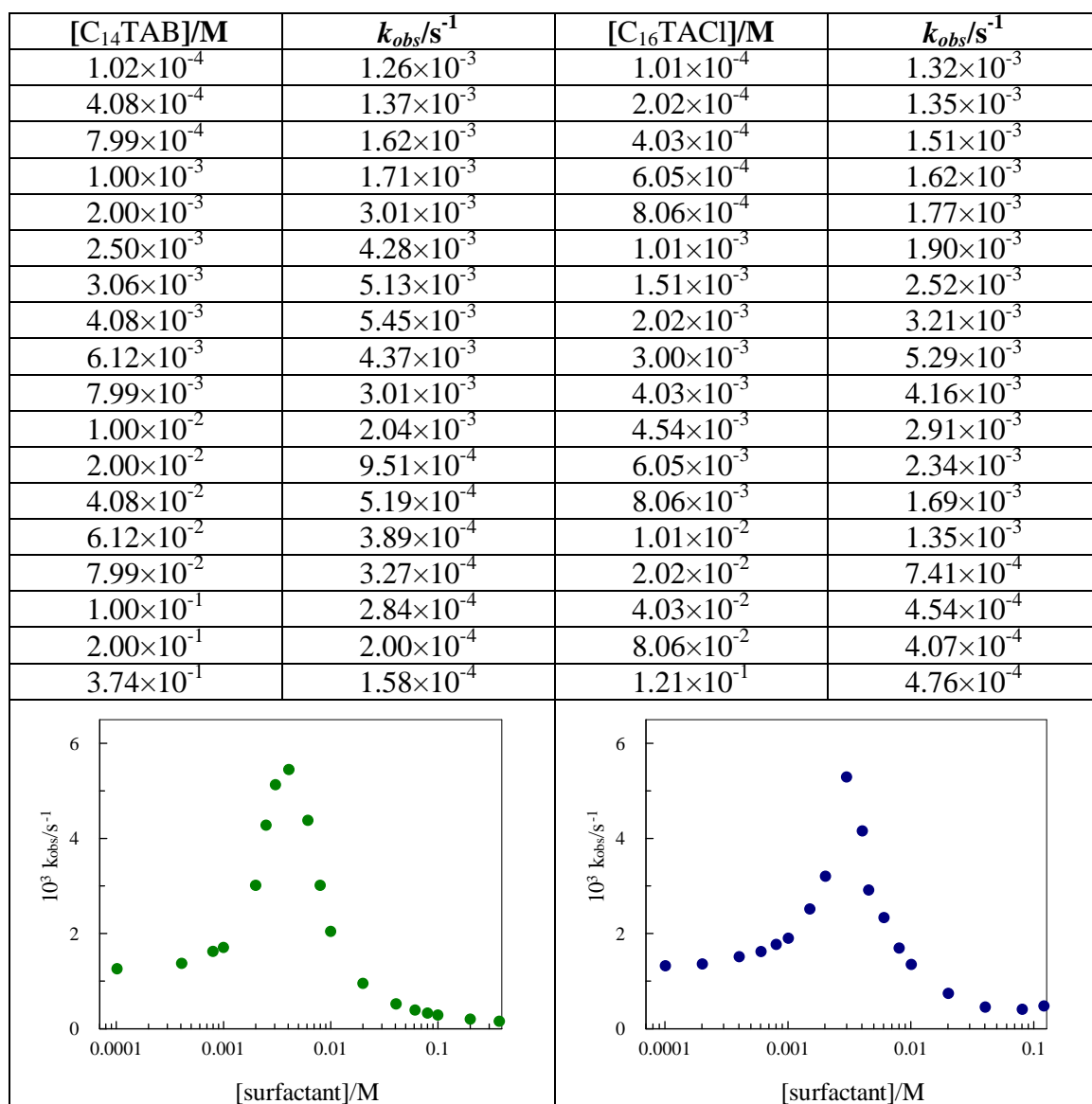


Table S13. Influence of the surfactant concentration ($C_{18}\text{TACl}$) on the k_{obs} for the hydrolysis of MBSC at 25.0 °C in the presence of $\beta\text{-CD}$. $[\text{MBSC}] = 8.87 \times 10^{-5} \text{ M}$, $[\text{CD}] = 2.58 \times 10^{-3} \text{ M}$, $T = 25 \pm 0.1^\circ\text{C}$.

